

## 자운영(*Astragalus sinicus*)종자의 페놀성 화합물 및 항산화 활성

염승환 · 김민기 · 김현정 · 심재걸 · 이재희 · 이민원\*

중앙대학교 약학대학

### Phenolic Compounds from Seeds of *Astragalus sinicus* and Its Antioxidative Activities.

Seung-Hwan Yeom, Min-Kee Kim, Hyun-Jung Kim, Jae-Geul Shim, Jae-Hee Lee, and Min-Won Lee\*

College of Pharmacy, Chung-Ang University, Seoul 156-756, Korea

**Abstract** – Phytochemical examination of seeds of *Astragalus sinicus* has led to the isolation and characterization of kaempferol 3-O- $\beta$ -D-apiofuranosyl-(1 $\rightarrow$ 2)- $\alpha$ -L-rhamnopyranosyl-(1 $\rightarrow$ 6)- $\beta$ -D-glucopyranoside (**1**), quercetin 3-O- $\beta$ -D-xylopyranosyl-(1 $\rightarrow$ 2)- $\beta$ -D-glucopyranoside (**2**), ampelopsin (**3**), ampelopsin 3'-O- $\beta$ -D-glucopyranoside (**4**), ampelopsin 3'-O- $\beta$ -D-xylopyranoside (**5**), myricetin (**6**), myricetin 3'-O- $\beta$ -D-glucopyranoside (**7**), myricetin 3'-O- $\beta$ -D-xylopyranoside (**8**). Antioxidative activity of these compounds was determined by measuring the radical scavenging effect on 1,1-diphenyl-2-picrylhydrazyl (DPPH) radicals. Flavanonols (**3**, **4**, and **5**) showed potent antioxidative activity.

**Key words** – *Astragalus sinicus*, Flavonoid, Antioxidative activities

자운영(*Astragalus sinicus*)은 콩과(Leguminosae)이고 황기속(*Astragalus Linne*)이며, 중국 원산으로, 우리나라 남부에서 재배하는 월년초이다. 키 19~25 cm. 밑에서 가지가 많이 갈라져 옆으로 자라다 곧게 서고, 잎은 1회 깃꼴겹잎, 작은잎은 9~11장, 도란형, 타원형이고, 길이 6~20 mm, 끝이 둥글거나 패어진다. 꽃은 흥자색, 간혹 흰색. 길이 12 mm, 7~10송이씩 산형화서로 달리고, 화축은 길다. 밀린씨는 편평한 신장형인데 한 끝은 비교적 길고 대개 같고리 모양으로 길이는 3~4 mm이다. 겉면은 황녹색 또는 갈색을 때며 반들반들하고 윤기가 나며, 민간적으로 제한약, 이뇨제, 강장제, 항당뇨, 저혈압제로 쓰였다.<sup>1-4)</sup>

황기속의 구성성분으로는 주로 triterpene glycoside<sup>5-20)</sup>계 통이 많이 보고 되었고, flavonoid<sup>6,20,21)</sup>과 isoflavonoid<sup>22-24)</sup>도 보고가 되었다.

생리활성 연구로는 McCracken<sup>25)</sup> 등이 황기속에 식물에 대한 독성실험을 하였고, Abdallah<sup>26,27)</sup> 등이 *A. trigonus*와 *A. spinosus*에서 분리한 cycloartane triterpene glycoside의 인간 암세포에서 항암작용과 HIV 항바이러스 작용에 대해 연구하였다. Luisa<sup>11)</sup> 등은 *A. verrucosus*의 엑스와 이 식물에서 분리된 astraverrucins I-VI를 가지고 항미생작용과 항균

작용에 대해 연구하였다. Baek<sup>23)</sup> 등은 황기 *A. membranaceus*에서 분리된 3,4-methylenedioxypyrrrolealdehyde와 7-O- $\beta$ -D-glucopyranosyl 7,3'-dihydroxy-4'-methoxy isoflavone의 간기능보호 기능을 보고하였다.

본 연구에서는 자운영(*Astragalus sinicus*) 종자로부터 페놀성화합물을 분리하여 그 항산화 효과를 파악하고자 하였다.

### 재료 및 방법

**실험재료** – 본 실험에서 사용한 자운영(*Astragalus sinicus*)의 종자는 2002년 12월 시판하는 것을 경동시장에서 구입하여 사용하였다.

**기기 및 시약** – IR spectrophotometer : Shimadzu IR-435 (Japan), KBr, <sup>1</sup>H-NMR spectrometer : Varian GEMINI 2000, 300 MHz (USA), Bruker AMX-500, 500 MHz (Germany), <sup>13</sup>C-NMR spectrometer : Varian GEMINI 2000, 75 MHz (USA), Bruker AMX-500, 125 MHz (Germany), Mass spectrometer : API 3000 triple quadrupole mass spectrometry (Canada), TLC : Adsorbent ; Kieselgel 60 F<sub>254</sub> (Merck, Germany), Cellulose (Sigma, USA), Solvent (v/v); CHCl<sub>3</sub> : MeOH : H<sub>2</sub>O=6 : 4 : 1, 70 : 30 : 4 Detection; Ethanolic-FeCl<sub>3</sub> solution, 10%-H<sub>2</sub>SO<sub>4</sub> in H<sub>2</sub>O (heating),

\*교신저자(E-mail) : mwlee@cau.ac.kr  
(FAX) : 02-822-9778

UV-lamp (254 nm), Chromatographic gels : Sephadex LH-20 (25–100 μm, Sigma, USA), MCI-gel CHP-20P (75–150 μm, Mitsubishi, Japan), YMC-gel ODS-A(230/70, 400/230, 500/400 mesh, YMC Co., Japan), Low Pressure Liquid Column Chromatography (pump : Gilson minipuls 3, detector : Gilson 112 UV/VIS (254 nm), gel : YMC-gel ODS-A (500/400 mesh, YMC Co., Japan), data system : Autochro-Win 3.0 plus (Young-lin Co., Korea))

DPPH (1,1-diphenyl-2-picrylhydrazyl), *l*-ascorbic acid, 2-thiobarbituric acid는 Sigma에서 구입하였고, 99.5% ethanol은 Merck, trichloroacetic acid는 ACROS에서 구입하여 사용하였다. 기타용매는 1급 시약을 사용하여 실험하였다. 흡광도는 Human TU-1800PC UV/Vis spectrophotometer (PGENERAL)를 사용하여 측정하였다.

**추출 및 분리** – 자운영 종자 800g을 80% aqueous acetone으로 실온에서 3회 추출하여 여과하였다. 그 추출액을 감압 농축한 엑스(80 g)를 H<sub>2</sub>O에 혼탁하여 여과한 후 Sephadex LH-20 컬럼크로마토그래피를 실시하였다. 용매는 물에서부터 메탄올을 10%씩 올려 100%까지 농도를 높였으며 TLC를 실시하여 7개의 fraction으로 나누었다. Fr.2에 대해서는 MCI-gel CHP 20P (20% MeOH→100% MeOH, gradient system) 및 ODS-gel을 이용한 Low pressure liquid column chromatography (H<sub>2</sub>O→80% MeOH, gradient system)을 실시하여 compound **1** (170 mg)을 얻었다. Fr.3에 대해서는 ODS-gel을 이용한 Low pressure liquid column chromatography (20% MeOH→80% MeOH, gradient system)와 MCI-gel CHP 20P (H<sub>2</sub>O→80% MeOH, gradient system)를

실시하여 compound **2** (264 mg)를 얻었고, MCI-gel CHP 20P (H<sub>2</sub>O→100% MeOH, gradient system)를 이용하여 compound **3** (95 mg)를 얻었다. Fr. 4, 5, 6, 7에 대해서는 ODS-gel을 통한 Low pressure liquid column chromatography (20% MeOH→80% MeOH, gradient system)를 실시하여 compound **4** (824 mg), **5** (189 mg), **6** (112 mg), **7** (129 mg), **8** (110 mg)를 얻었다.

### Kaempferol 3-O-β-D-apiofuranosyl-(1→2)-α-L-rhamnopyranosyl-(1→6)-β-D-glucopyranoside (**1**)

Yellow amorphous powder, IR  $\nu_{\text{max}}^{\text{KBr}}$  cm<sup>-1</sup> : 3361 (OH),

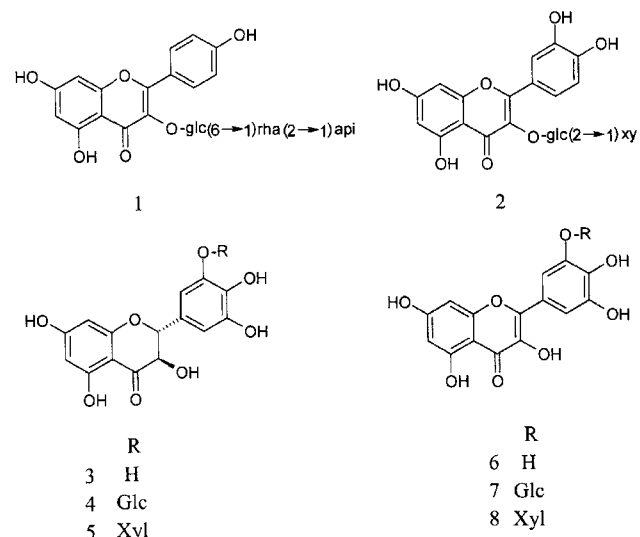
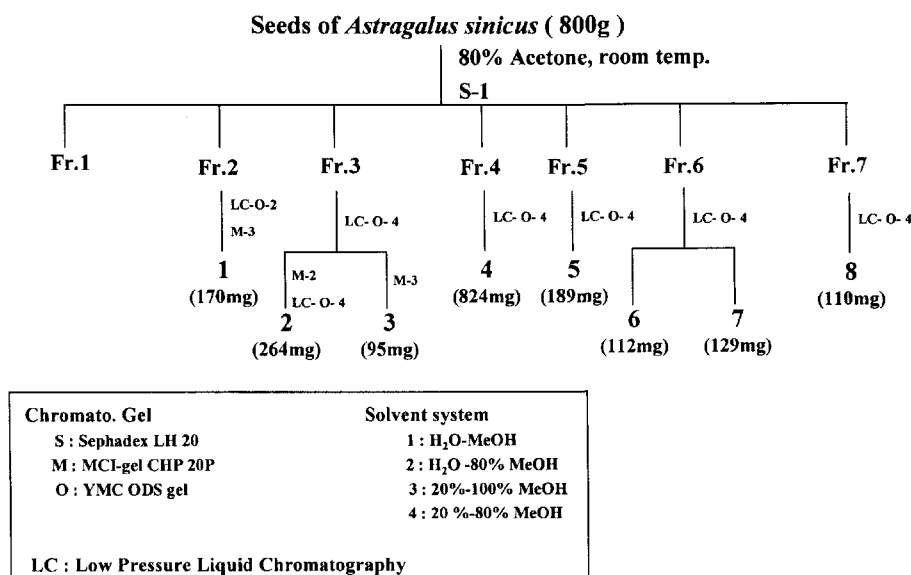


Fig. 1. Structures of Compounds **1-8**.



Scheme 1. Extraction and isolation procedures.

1637, 1515 (aromatic C=C) Negative FAB MS :  $m/z$  725 [M-H]-  $^1\text{H-NMR}$  (500 MHz, DMSO- $d_6$ ) :  $\delta$  7.98 (2H, d,  $J=8.5$  Hz, H-2', 6'), 6.86 (2H, d,  $J=9.0$  Hz, H-3', 5'), 6.39 (1H, d,  $J=2.0$  Hz, H-8), 6.18 (1H, d,  $J=2.0$  Hz, H-6), 5.44 (1H, d,  $J=7.0$  Hz, glc-1), 5.31 (1H, s, api-1), 4.30 (1H, s, rha-1), 0.92 (m, rha-6),  $^{13}\text{C-NMR}$  (125 MHz, DMSO- $d_6$ ) : <Table I>

### Quercetin 3-O- $\beta$ -D-xylopyranosyl-(1 $\rightarrow$ 2)- $\beta$ -D-glucopyranoside (2)

Brown amorphous powder, IR  $\nu_{\max}^{\text{KBr}}$  cm $^{-1}$  : 3348 (OH), 1658, 1592 (aromatic C=C), Negative FAB MS :  $m/z$  595 [M-H]-  $^1\text{H-NMR}$  (300 MHz, DMSO- $d_6$ +D $_2$ O) :  $\delta$  7.77 (1H, dd,  $J=8.4$ , 2.4 Hz, H-6'), 7.53 (1H, d,  $J=2.4$  Hz, H-2'), 6.84 (1H, d,  $J=8.4$  Hz, H-5'), 6.41 (1H, d,  $J=1.8$  Hz, H-8), 6.20 (1H, d,  $J=1.8$  Hz, H-6), 5.72 (1H, d,  $J=7.2$  Hz, glc-1), 4.56 (1H,  $J=7.5$  Hz, xyl-1),  $^{13}\text{C-NMR}$  (75 MHz, DMSO- $d_6$ ) : <Table I>

### Ampelopsin (3)

Brown amorphous powder,  $[\alpha]_D^{20}$  : + 41.8° (c=0.01, MeOH), IR  $\nu_{\max}^{\text{KBr}}$  cm $^{-1}$  : 3249 (OH), 1625, 1471 (aromatic C=C) Negative FAB MS :  $m/z$  319 [M-H]-  $^1\text{H-NMR}$  (300 MHz, DMSO- $d_6$ +D $_2$ O) :  $\delta$  6.54 (2H, s, H-2', 6'), 5.93 (1H, d,  $J=2.1$  Hz, H-8), 5.90 (1H, d,  $J=2.1$  Hz, H-6), 4.84 (1H, d,  $J=11.4$  Hz, H-2), 4.47 (1H, d,  $J=11.4$  Hz, H-3),  $^{13}\text{C-NMR}$  (75 MHz, DMSO- $d_6$ ) : <Table I>

### Ampelopsin 3'-O- $\beta$ -D-glucopyranoside (4)

Yellow amorphous powder,  $[\alpha]_D^{20}$  : + 73.1° (c=0.01, MeOH), IR  $\nu_{\max}^{\text{KBr}}$  cm $^{-1}$  : 3370 (OH), 1647, 1515 (aromatic C=C) Negative FAB MS :  $m/z$  481 [M-H]-  $^1\text{H-NMR}$  (300 MHz, DMSO- $d_6$ +D $_2$ O) :  $\delta$  6.76 (1H, d,  $J=1.8$  Hz, H-2'), 6.64 (1H, d,  $J=1.8$  Hz, H-6'), 5.90 (1H, d,  $J=2.1$  Hz, H-8), 5.86 (1H, d,  $J=2.1$  Hz, H-6), 4.94 (1H, d,  $J=11.1$  Hz, H-2), 4.49 (1H, d,  $J=11.1$  Hz, H-3), 4.64 (1H, d,  $J=7.2$  Hz, glc-1),  $^{13}\text{C-NMR}$  (75 MHz, DMSO- $d_6$ ) : <Table I>

### Ampelopsin 3'-O- $\beta$ -D-xylopyranoside (5)

Brown amorphous powder,  $[\alpha]_D^{20}$  : + 69.5° (c=0.01, MeOH), IR  $\nu_{\max}^{\text{KBr}}$  cm $^{-1}$  : 3414 (OH), 1637, 1504 (aromatic C=C) Negative FAB MS :  $m/z$  451 [M-H]-  $^1\text{H-NMR}$  (300 MHz, DMSO- $d_6$ +D $_2$ O) :  $\delta$  6.81 (1H, d,  $J=1.8$  Hz, H-

2'), 6.77 (1H, d,  $J=1.8$  Hz, H-6'), 5.93 (1H, d,  $J=1.8$  Hz, H-8), 5.90 (1H, d,  $J=1.8$  Hz, H-6), 4.91 (1H, d,  $J=11.4$  Hz, H-2), 4.77 (1H, d,  $J=7.2$  Hz, xyl-1), 4.47 (1H, d,  $J=11.4$  Hz, H-3),  $^{13}\text{C-NMR}$  (75 MHz, DMSO- $d_6$ ) : <Table I>

### Myricetin (6)

Brown amorphous powder, IR  $\nu_{\max}^{\text{KBr}}$  cm $^{-1}$  : 3260 (OH), 1647, 1592 (aromatic C=C) Negative FAB MS :  $m/z$  317 [M-H]-  $^1\text{H-NMR}$  (300 MHz, DMSO- $d_6$ +D $_2$ O) :  $\delta$  7.27 (2H, s, H-2', 6'), 6.38 (1H, d,  $J=1.5$  Hz, H-8), 6.20 (1H, d,  $J=1.5$  Hz, H-6),  $^{13}\text{C-NMR}$  (75 MHz, DMSO- $d_6$ ) : <Table I>

### Myricetin 3'-O- $\beta$ -D-glucopyranoside (7)

Brown amorphous powder, IR  $\nu_{\max}^{\text{KBr}}$  cm $^{-1}$  : 3348 (OH), 1658, 1592 (aromatic C=C) Negative FAB MS :  $m/z$  479 [M-H]-  $^1\text{H-NMR}$  (300 MHz, DMSO- $d_6$ +D $_2$ O) :  $\delta$  7.55 (1H, d,  $J=1.8$  Hz, H-2'), 7.53 (1H, d,  $J=1.8$  Hz, H-6'), 6.43 (1H, d,  $J=1.8$  Hz, H-8), 6.20 (1H, d,  $J=1.8$  Hz, H-6), 4.93 (1H, d,  $J=5.4$  Hz, glc-1),  $^{13}\text{C-NMR}$  (75 MHz, DMSO- $d_6$ ) : <Table I>

### Myricetin 3'-O- $\beta$ -D-xylopyranoside (8)

Green amorphous powder, IR  $\nu_{\max}^{\text{KBr}}$  cm $^{-1}$  : 3337 (OH), 1655, 1592 (aromatic C=C) Negative FAB MS :  $m/z$  449 [M-H]-  $^1\text{H-NMR}$  (500 MHz, DMSO- $d_6$ +D $_2$ O) :  $\delta$  7.49 (2H, s, H-2', 6'), 6.43 (1H, d,  $J=2.0$  Hz, H-8), 6.21 (1H, d,  $J=2.0$  Hz, H-6), 4.74 (1H, d,  $J=7.5$  Hz, xyl-1),  $^{13}\text{C-NMR}$  (125 MHz, DMSO- $d_6$ ) : <Table I>

**래디칼 소거작용의 측정** – Hatano *et al.*의 방법<sup>28)</sup>에 의하여 시료를 각 농도별로 조제한 용액 100  $\mu\text{l}$  (control : 99.5% ethanol)에 0.1 mM DPPH 용액 (99.5% ethanol) 1.9  $\text{mL}$ 을 가하였다. 각 시료는 5가지 농도로 조제하였다. Vortex mixer로 10초간 진탕한 후 37°C에서 30분 동안 incubation 시킨 후 spectrophotometer를 이용하여 515 nm에서 흡광도를 측정하였다. 양성 대조약물로는 ascorbic acid를 5가지 농도로 조제하여 측정하였다. 각 시료의 항산화작용은 IC<sub>50</sub> 치 (DPPH 래디칼 형성을 50%로 억제하는 데 필요한 농도 mM)로 나타내었다.

### 결과 및 고찰

Compound 1은 황색분말이며 TLC에서 FeCl<sub>3</sub> 분무에 의

**Table I.**  $^{13}\text{C}$ -NMR spectra of Compound **1**, **2**, **3**, **4**, **5**, **6**, **7**, and **8**

Carbon number	1**	1a*	2*	2a*	3*	3a*	4*	5*	6*	6a*	7*	8**
C-2	156.6	146.8	156.2	147.5	85.4	83.2	83.3	84.9	147.0	147.1	146.6	146.2
C-3	133.1	135.6	133.3	136.5	73.7	71.6	71.6	73.5	136.1	136.1	136.2	136.2
C-4	177.6	175.9	177.7	176.5	198.7	197.5	198.0	198.4	176.0	176.0	176.1	176.0
C-5	161.5	160.7	161.4	161.0	164.7	162.4	163.6	165.3	160.1	161.0	160.9	160.8
C-6	98.9	98.2	98.4	99.5	96.5	94.9	95.3	96.2	98.3	98.5	98.3	98.3
C-7	164.2	163.9	164.3	166.0	169.0	166.7	167.2	168.7	164.2	164.2	164.2	164.0
C-8	93.9	93.5	93.6	94.5	97.5	95.9	96.2	96.3	93.3	93.5	93.8	93.4
C-9	156.7	156.2	155.5	156.7	165.5	163.3	162.8	164.4	156.3	156.4	156.4	156.1
C-10	104.2	103.1	104.0	104.0	101.9	100.4	100.6	101.8	103.1	103.3	103.2	103.1
C-1'	121.2	121.7	121.4	123.0	129.2	127.1	127.4	129.1	120.9	121.2	121.2	121.0
C-2'	131.1	129.5	115.4	116.0	108.2	106.9	108.0	109.9	107.3	107.5	108.3	108.4
C-3'	115.4	115.4	145.2	145.7	147.1	145.6	145.8	146.8	145.9	146.0	145.8	145.7
C-4'	160.0	159.2	148.8	148.1	135.1	133.4	135.6	137.3	136.1	136.1	137.8	137.8
C-5'	115.4	115.4	115.9	116.5	147.1	145.6	145.9	147.1	145.9	146.0	146.3	145.8
C-6'	131.1	129.5	122.5	121.0	108.2	106.9	110.5	111.5	107.3	107.7	110.9	110.5
glc-1	98.9		98.5				102.6				103.9	
2	74.1		81.7				73.5				70.7	
3	76.4		77.5				76.1				72.7	
4	70.6		69.4				69.9				68.1	
5	77.1		76.1				77.3				75.8	
6	66.8		60.5				60.7				60.4	
rha-1	100.8											
2	75.8											
3	70.5											
4	70.8											
5	68.4											
6	17.8											
api-1	108.9											
2	77.4											
3	79.5											
4	72.0											
5	77.1											
xyl-1		104.4					104.6				103.4	
2		73.8					74.5				73.2	
3		76.7					77.2				75.9	
4		69.3					70.8				69.5	
5		65.6					66.9				65.9	

Solvent : \* 75 MHz, DMSO- $d_6$ , \*\*125 MHz, DMSO- $d_6$ **1a**, **2a**, **3a**, **6a** :kaempferol, quercetin, ampelopsin, myricetin respectively in the reference

해서 옅은 갈색을 나타났으며, IR spectrum에서도 3361 (OH), 1637, 1515 (aromatic C=C)  $\text{cm}^{-1}$  등에서 흡수를 나타내 flavonoid 화합물로 추정되었다.

$^1\text{H}$ -NMR spectrum에서는 방향족 영역에서 meta coupling하고 있는 H-6과 H-8의 signal이 각각  $\delta$  6.18 (1H, d,  $J=2.0$  Hz)

Hz) 및 6.39 (1H, d,  $J=2.0$  Hz)에서 나타났으며,  $A_2B_2$  type의 H-2', H-6' 및 H-3', H-5'의 signal이 각각  $\delta$  7.98 (2H, d,  $J=8.5$  Hz), 6.86 (2H, d,  $J=9.0$  Hz)에서 나타났다. 한편, 3개의 anomeric proton signal이 각각  $\delta$  5.44 (1H, d,  $J=7.0$  Hz), 4.30 (1H, s), 5.31 (1H, s)이 나타나 1은 3,5,7,4'-tetrahy-

droxyflavonol (kaempferol) triglycoside 임을 추정할 수 있었다.

$^{13}\text{C}$ -NMR spectrum에서는 kaempferol과 비교하여 C-2가  $\delta$  156.6으로 저자장으로, C-3이  $\delta$  133.1으로 고자장 shift하여 당시 3번 위치에 결합한 것을 알 수 있었으며, glucose, rhamnose, apiose의 peak를 각각 확인하였다. 또한, H<sup>1</sup>-H<sup>1</sup> COSY와 HMQC spectrum을 통하여 각각의 carbon과 proton을 귀속시킨 후 HMBC spectrum에서 C-3과 glucose 1번수소, glucose 6번탄소와 rhamnose 1번수소, rhamnose 2번탄소와 apiose 1번수소 사이의 correlation peak를 확인하여 각 결합위치를 확인하였으며, negative FAB MS spectrum에서  $m/z$  724 [M-H]<sup>-</sup>의 피크를 보여주었다.

이상의 기기분석 결과로부터 이 화합물을 kaempferol 3-O- $\beta$ -D-apiofuranosyl-(1 $\rightarrow$ 2)- $\alpha$ -L-rhamnopyranosyl-(1 $\rightarrow$ 6)- $\beta$ -D-glucopyranoside로 확인하였으며, 문헌과의 data 비교를 통해 동정하였다.<sup>29,30)</sup>

Compound 2은 갈색분말이며 TLC에서  $\text{FeCl}_3$  분무에 의해서 옅은 갈색을 나타났으며, IR spectrum에서도 3348 (OH), 1658, 1592 (aromatic C=C)  $\text{cm}^{-1}$  등에서 흡수를 나타내 flavonoid 화합물로 추정되었다.

$^1\text{H}$ -NMR spectrum에서는 방향족 영역에서 meta coupling하고 있는 H-6과 H-8의 signal이 각각  $\delta$  6.20 (1H, d,  $J=1.8$  Hz) 및 6.41 (1H, d,  $J=1.8$  Hz)에서 나타났으며, ABX type의 H-2', H-5', H-6'의 signal이 각각  $\delta$  7.53 (1H, d,  $J=2.4$  Hz), 6.84 (1H, d,  $J=8.4$  Hz), 7.77 (1H, dd,  $J=8.4$ , 2.4 Hz)에서 나타났다. 2개의 당시에 의한 anomeric proton signal이 각각  $\delta$  5.72 (1H, d,  $J=7.2$  Hz), 4.56 (1H, d,  $J=7.5$  Hz)이 나타나 2는 3,5,7,3',4'-pentahydroxyflavonol (quercetin) diglycoside로 추정되었다.

$^{13}\text{C}$ -NMR spectrum에서는 quercetin과 비교하여 C-2가  $\delta$  156.5, C-3이  $\delta$  133.3으로 저자장으로 shift하여 glucose가 3번 위치에 결합한 것을 알 수 있었으며, glucose와 xylose의 peak를 나타내었고, negative FAB MS spectrum에서  $m/z$  595 [M-H]<sup>-</sup>의 피크를 보여주었다. 이상의 기기분석 결과와 문헌과의 data 비교를 통해 이 화합물을 quercetin 3-O- $\beta$ -D-xylopyranosyl-(1 $\rightarrow$ 2)- $\beta$ -D-glucopyranoside로 확인, 동정하였다.<sup>31)</sup>

Compound 3은 황색분말이며 TLC에서  $\text{FeCl}_3$  분무에 의해서 옅은 갈색을 나타났으며, IR spectrum에서도 3249 (OH), 1625, 1471 (aromatic C=C)  $\text{cm}^{-1}$  등에서 흡수를 나타내 flavonoid 화합물로 추정되었다.

$^1\text{H}$ -NMR spectrum에서는 방향족 영역에서 meta coupling하고 있는 H-6과 H-8의 signal이 각각  $\delta$  5.90 (1H, d,  $J=2.1$  Hz) 및 5.93 (1H, d,  $J=2.1$  Hz)에서 나타났으며 H-2',

6'의 signal은  $\delta$  6.54 (2H, s)에서 나타났고, H-2는  $\delta$  4.84 (1H, d,  $J=11.4$  Hz)에서, H-3은  $\delta$  4.47 (1H, d,  $J=11.4$  Hz)에서 나타나 이 화합물을 3,5,7,3',4',5'-hexahydroxy flavanonol (ampelopsin)로 추정되었다.

$^{13}\text{C}$ -NMR spectrum에서 문헌의 ampelopsin과 동일한 peak를 보여주었고, negative FAB MS spectrum에서  $m/z$  451 [M-H]<sup>-</sup>의 피크를 보여주었다.

이상의 기기분석 결과와 문헌과의 data 비교를 통해 이 화합물을 ampelopsin으로 확인, 동정하였다.<sup>32)</sup>

Compound 4은 황색분말이며 TLC에서  $\text{FeCl}_3$  분무에 의해서 옅은 갈색을 나타났으며, IR spectrum에서도 3370 (OH), 1647, 1515 (aromatic C=C)  $\text{cm}^{-1}$  등에서 흡수를 나타내 flavonoid 화합물로 추정되었다.

$^1\text{H}$ -NMR spectrum에서는 방향족 영역에서 meta coupling하고 있는 H-6과 H-8의 signal이 각각  $\delta$  5.86 (1H, d,  $J=2.1$  Hz) 및 5.90 (1H, d,  $J=2.1$  Hz)에서 나타났으며, H-2'와 H-6'의 signal이  $\delta$  6.76 (1H, d,  $J=1.8$  Hz) 및 6.64 (1H, d,  $J=1.8$  Hz)에서 나타났고, H-2는  $\delta$  4.94 (1H, d,  $J=11.1$  Hz)에서, H-3은  $\delta$  4.49 (1H, d,  $J=11.1$  Hz)에서 나타났다. 한편,  $\delta$  4.64에서 당시의 anomeric proton에 의한 signal이 doublet ( $J=7.2$  Hz)로 나타나 4는 ampelopsin의 glycoside 임을 추정할 수 있었다.

$^{13}\text{C}$ -NMR spectrum에서도 3과 비슷한 signal 패턴을 나타내었으나, ampelopsin의 C-3' 위치에 당시 결합함으로써 C-3', 5'가 각각  $\delta$  145.8과 145.9에서 나타났고, C-2', 6'도 각각  $\delta$  108.0와 110.5에서 나타났으며, glucose의 signal을 확인하였다. 또한 negative FAB MS spectrum에서  $m/z$  481 [M-H]<sup>-</sup>의 피크를 나타내었다.

이상의 기기분석 결과를 통해 이 화합물을 ampelopsin 3-O- $\beta$ -D-glucopyranoside로 확인하였으며, 문헌과의 data 비교를 통해 동정하였다.<sup>32)</sup>

Compound 5는 갈색분말이며 TLC에서  $\text{FeCl}_3$  분무에 의해서 옅은 갈색을 나타났으며, IR spectrum에서도 3414 (OH), 1637, 1504 (aromatic C=C)  $\text{cm}^{-1}$  등에서 흡수를 나타내 flavonoid 화합물로 추정되었다.

$^1\text{H}$ -NMR spectrum에서는 방향족 영역에서 meta coupling하고 있는 H-6과 H-8의 signal이 각각  $\delta$  5.90 (1H, d,  $J=1.8$  Hz) 및 5.93 (1H, d,  $J=1.8$  Hz)에서 나타났으며 H-2'와 H-6'의 signal이  $\delta$  6.81 (1H, d,  $J=1.8$  Hz) 및 6.77 (1H, d,  $J=1.8$  Hz)에서 나타났고, H-2는  $\delta$  4.91 (1H, d,  $J=11.4$  Hz)에서, H-3은  $\delta$  4.47 (1H, d,  $J=11.4$  Hz)에서 나타났다. 한편,  $\delta$  4.77에서 당시의 anomeric proton에 의한 signal이 doublet ( $J=7.2$  Hz)로 나타나 5는 4와 비슷한 ampelopsin glycoside 임을 추정할 수 있었다.

<sup>13</sup>C-NMR spectrum에서도 4와 비슷한 signal 패턴으로써, ampelopsin의 C-3', 5'가 각각 δ 146.8과 147.1에서 나타났고, C-2', 6'도 각각 δ 109.9와 111.5에서 나타나 C-3' 위치에 당이 결합한 것으로 확인되었고, xylose의 peak가 나타났으며, negative FAB MS spectrum에서 *m/z* 451 [M-H]<sup>-</sup>의 피크를 보여주었다.

이상의 기기분석 결과를 토대로 이 화합물을 ampelopsin 3'-*O*-β-D-xylopyranoside로 확인하였으며, 문헌과의 data 비교를 통해 동정하였다.<sup>32)</sup>

Compound 6은 갈색분말이며 TLC에서 FeCl<sub>3</sub> 분무에 의해서 옅은 갈색을 나타났으며, IR spectrum에서도 3260 (OH), 1647, 1592 (aromatic C=C) cm<sup>-1</sup> 등에서 흡수를 나타내 flavonoid 화합물로 추정되었다.

<sup>1</sup>H-NMR spectrum에서는 방향족 영역에서 meta coupling하고 있는 H-6과 H-8의 signal이 각각 δ 6.20 (1H, d, *J*=1.5 Hz) 및 6.38 (1H, d, *J*=1.5 Hz)에서 나타났으며 H-2', 6'의 signal은 δ 7.27 (2H, s)에서 나타나 이 화합물을 3,5,7,3',4',5'-hexahydroxy flavonol (myricetin)로 추정되었다.

<sup>13</sup>C-NMR spectrum에서는 문헌의 myricetin과 동일한 peak를 보여주었고, negative FAB MS spectrum에서 *m/z* 317 [M-H]<sup>-</sup>의 피크를 보여주었다.

이상의 기기분석 결과와 문헌과의 data 비교를 통해 이 화합물을 myricetin으로 확인, 동정하였다.<sup>32)</sup>

Compound 7은 갈색분말이며 TLC에서 FeCl<sub>3</sub> 분무에 의해서 옅은 갈색을 나타났으며, IR spectrum에서도 3348 (OH), 1658, 1592 (aromatic C=C) cm<sup>-1</sup> 등에서 흡수를 나타내 flavonoid 화합물로 추정되었다.

<sup>1</sup>H-NMR spectrum에서는 방향족 영역에서 meta coupling하고 있는 H-6과 H-8의 signal이 각각 δ 6.20 (1H, d, *J*=1.8 Hz) 및 6.43 (1H, d, *J*=1.8 Hz)에서 나타났으며 H-2'와 H-6'의 signal이 δ 7.55 (1H, d, *J*=1.8 Hz) 및 7.53 (1H, d, *J*=1.8 Hz)에서 나타났으며, δ 4.93 ppm에서 당의 anomeric proton의 의한 signal이 doublet (*J*=5.4 Hz)로 나타났다.

<sup>13</sup>C-NMR spectrum에서는 6과 비슷한 signal 패턴을 나타내었으나, myricetin의 C-3', 5'가 각각 δ 145.8과 146.3에서 나타났고, C-2', 6'도 각각 δ 108.3와 110.9에서 나타나 C-3' 위치에 당이 결합한 것으로 확인되었고, glucose의 peak가 나타났으며, negative FAB MS spectrum에서 *m/z* 479 [M-H]<sup>-</sup>의 피크를 보여주었다.

이상의 기기분석 결과를 토대로 이 화합물을 myricetin 3'-*O*-β-D-glucopyranoside로 확인하였으며, 문헌과의 data 비교를 통해 동정하였다.<sup>32)</sup>

Compound 8은 녹색분말이며 TLC에서 FeCl<sub>3</sub> 분무에 의해서 옅은 갈색을 나타났으며, IR spectrum에서도 3337

(OH), 1655, 1592 (aromatic C=C) cm<sup>-1</sup> 등에서 흡수를 나타내 flavonoid 화합물로 추정되었다.

<sup>1</sup>H-NMR spectrum에서는 방향족 영역에서 meta coupling하고 있는 H-6과 H-8의 signal이 각각 δ 6.21 (1H, d, *J*=2.0 Hz) 및 6.43 (1H, d, *J*=2.0 Hz)에서 나타났으며 H-2'와 H-6'의 signal이 δ 7.49 (2H, s)이 나타났으며, δ 4.74에서 당의 anomeric proton에 의한 signal이 doublet (*J*=7.5 Hz)로 나타나 8은 myricetin glycoside 임을 확인할 수 있었다.

<sup>13</sup>C-NMR spectrum에서는 7과 비슷한 signal 패턴을 나타내어, myricetin의 C-3', 5'가 각각 δ 145.7과 145.8에서 나타났고, C-2', 6'도 각각 δ 108.4와 110.5에서 나타나 C-3' 위치에 당이 결합한 것으로 확인되었고, xylose의 peak가 나타났으며, negative FAB MS spectrum에서 *m/z* 449 [M-H]<sup>-</sup>의 피크를 보여주었다.

이상의 기기분석 결과를 통해 이 화합물을 myricetin 3'-*O*-β-D-xylopyranoside로 확인하였고, 문헌과의 data 비교를 통해 동정하였다.<sup>32)</sup>

한편 이들 8가지 화합물에 대하여 DPPH를 이용한 항산화 활성을 측정한 결과, 양성대조군인 ascorbic acid (*IC*<sub>50</sub>=10.91 μM)와 비교하여, flavonol 화합물로써 kaempferol의 배당체 (**1**, *IC*<sub>50</sub>=17.41 μM)와 quercetin의 배당체 (**2**, *IC*<sub>50</sub>=13.44 μM), myricetin (**6**, 12.92 μM)과 그 배당체 (**7**, *IC*<sub>50</sub>=18.31 μM; **8**, *IC*<sub>50</sub>=29.06 μM)에 비하여, flavanone 화합물인 ampelopsin (**3**, *IC*<sub>50</sub>=6.47 μM)과 그 배당체들 (**4**, *IC*<sub>50</sub>=8.45 μM; **5**, *IC*<sub>50</sub>=4.69 μM)이 보다 우수한 항산화 활성을 보여 주었다(Table II 참조).

## 결 론

자운영 종자로부터 3종의 flavanone, 5종의 flavonol 화합물을 분리함으로써 자운영종자는 풍부한 flavonoid 화합물의 자원임을 알 수 있었으며, 이들 flavonoid 화합물들은

Table II. Antioxidative activities of Compounds 18

Compounds	<i>IC</i> <sub>50</sub> (μM)
1	17.41
2	13.44
3	6.47
4	8.45
5	4.69
6	12.92
7	18.31
8	29.06
Ascorbic acid	10.91

DPPH를 이용한 항산화실험에서 우수한 항산화효과를 나타내었다. 특히, flavanonol 형태인 **3** ( $IC_{50}=6.47 \mu M$ ), **4** ( $IC_{50}=8.45 \mu M$ ), **5** ( $IC_{50}=4.69 \mu M$ )가 양성대조군인 ascorbic acid ( $IC_{50}=10.91 \mu M$ )와 비교하여 뛰어난 항산화 활성을 보여 주었다.

이상의 결과를 종합해 볼 때 자운영종자의 flavonoid 화합물은 항산화제로의 개발가능성이 있다고 사료된다.

### 인용문헌

- Lee, Y.N. (1996) Flora of Korea, 410, Kyo-Hak Publishing Co., Seoul.
- Kim, C.M., Shin, M.K., Ahn, D.K., and Lee, K.S. (1998) 中藥大辭典, 4630, Jung-Dam Publishing Co., Seoul.
- Lee, W.C. (1996) Standard Illustrations of Korean Plants, 186, Academic Publishing Co., Seoul.
- Tong, W. and Eisenbrand, G. (1992) Chinese Drugs of plant Origin, Springer Verlag, Berlin.
- Erdal, B., Ihsan, C., Chuck, D., Rudraksh, S., John, K. B., and Ikhlas, A. K. (2001) Two novel cycloartane-type triterpene glycosides from the roots of *Astragalus prussianus*, *Tetrahedron* **57**: 5961-5966.
- Erdal, B., Ihsan, C., Rita, A., Sonia, P., and Cosimo, P. (1999) Trojanoside H : A cycloartane-type glycoside from the aerial parts of *Astragalus trojanus*, *Phytochemistry* **51**: 1017-1020.
- Pierluigi, G., Francesca, P., Marco, T., Luisella, V., Nadia, E. S., Aya, M. A., Rokia, M. A., and Soas, M. T. (1995) Cycloratane triterpene glycosides from *Astraglaus trigonus*, *Phytochemistry* **40**: 1755-1760.
- Lusia, P., Stefania, P., Guido, F., Aleessandra, B., and Antonio, M. (1997) Three cycloastragenol glucosides from *Astragalus verrucosus*, *Phytochemistry* **45**: 585-587.
- Luisa, P., Stefania, P., Alessandra, B., and Donatella, P. (1998) Cicloastragenol glycosides from *Astragalus verrucosus*, *Phytochemistry* **49**: 2467-2471.
- Nadia A.E., Aya, M.A., Rokia, M.A., Soad, M.T., and Fulvia, O. (2000) Constituents of Egyptian *Astragalus tribuloides* Del., *Nat. Prod. Sci.* **6**: 11-15.
- Luisa, P., Alessandra, B., Elena, L., Ivano, M., and Lirio, P. (2002) Antimicrobial and antifungal activity of crude extracts and isolated saponin from *Astragalus verrucosus*, *Fitoterapia* **73**: 336-339.
- Ihsan, C., Hasan, Y., Oliver, Z., and Otto, S. (1999) Cephalotoside : A tridesmosidic cycloartane type glycoside from *Astragalus cephalotes* var. *brevicalyx*, *Phytochemistry* **50**: 843-847.
- Luisella, V., Marco, T., Nadia, A. E., and Soad, M. T. (1998) Cycloartane triterpene glycosides from *Astragalus sieberi*, *Phytochemistry* **48**: 1403-1409.
- Yu, Z., Masao, H., Hekai, R., and Tsutomu, F. (1995) Two trglycosidic triterpene astragalosides from hairy root culture of *Astragalus membranaceus*, *Phytochemistry* **38**: 1407-1410.
- Baoliang C., Yusuke, S., Takashi, T., Junei, K., and Toshihiro N. (1992) Four new oleanene derivatives from the seeds of *Astraglaus complanatus*, *Chem. Pharm. Bull.* **40**: 136-138.
- Baoliang, C., Junko, I., Takashi, T., Junei, K., and Toshihiro, N. (1992) Triterpene glycosides from the seeds of *Astragalus sinicus* L., *Chem. Pharm. Bull.* **40**: 3330-3333.
- Kim, J. S., Park, J. S., Kim, C. S., and Kim, J. M. (2000) NMR assignments including HMBC and 1D-TOCSY data of astraloside, and isoastragaloside from roots of *Astragalus membranaceus*, *Kor. J. Pharmacogn* **31**: 34-38.
- Kim, J. S., Kim, Y. T., and Kim, C. S. (1996) A study on the constituents from the roots of *Astragalus membranaceus* (I), *Kor. J. Pharmacogn* **27**: 336-341.
- Kim, J. S. and Kim, C. S. (2000) A study on the constituents from the roots of *Astragalus membranaceus* (III), *Kor. J. Pharmacogn* **31**: 109-111.
- Shoji, Y., Maeshige, K., and Hiroshi, K. (2000) Flavonoid glycosides and saponins from *Astragalus shikokianus*, *Phytochemistry* **53**: 469-471.
- Baoliang, C., Motoyuki, N., Junei, K., and Toshihiro, N. (1992) Structures of three new acylated flavonoid glycosides from *Astragalus complanatus* R. Br., *Chem. Pharm. Bull.* **40**: 1943-1945.
- Xiaofeng, M., Pengfei, T., Yingjie, C., Tianyou, Z., Yun, W., and Yoichiro, I. (2003) Preparative isolation and purification of two isoflavanones from *Astragalus membranaceus* Bge. var. *mongolicus* (Bge.) Hsiao by high-speed counter-current chromatography, *Journal of Chromatography A*, **992**: 193-197.
- Baek, N. I., Kim, Y. S., Kung, J. S., and Park, K. H. (1996) Isolation of anti-hepatotoxic agent from the root of *Astragalus membranaceus*, *Kor. J. Pharmacogn.* **27**: 111-116.
- Kim, J. S. and Kim C. S. (1997) A study on the constituents from the roots of *Astragalus membranaceus* (II), *Kor. J. Pharmacogn* **28**: 75-79.
- McCracken, D.S., Schermerster, L.J., and Bhatti, W.H. (1970) Phytochemical and cytotoxic evaluation of several *Astragalus* species of north dakota, *Lloydia* **33**: 19-24.
- Abdallah, R.M., Harraz, F.M., and El-Sebakhy, N.A. (1990) *Astragalus trigonus* DC : Cytotoxicity screening of its cycloartane diglucoside and macro- and micro-morphology of the leaf, stem and root, *Alex. J. Pharm. Sci.* **4**: 192-196.
- Abdallah, R.M., Ghazy, N.M., El-Sebakhy, N.A., Pirillo, A., and Verotta, L. (1993) Astragalosides from Egyptian *Astragalus spinosus* Vahl. *Pharmazie* **48**: 452-454.
- Hatano, T., Edamatsu, R., Hiramatsu, M., Mori, A., Fujita,

- Y., Yasuhara, T., Yoshida, T., and Okuda, T. (1989) Effects of the interaction of tannins with co-existing substances. Effects of tannins and related polyphenols on superoxide anion radical, and on 1,1-diphenyl-2-picrylhydrazyl radical. *Chem. Pharm. Bull.* **37**: 2016-2021.
29. Yong-Long, L., Barbara N.T., Joseph, J.H., and Steven P.M. (1993) A flavonol triglycoside from *Bassaris thesioides*. *Phytochemistry* **33**: 1549-1551.
30. Simone, F.D., Dini, A., Pizza, C., Saturnino, P., and Schettino, O. (1990) Two flavonol glycosides from *Chenopodium quinoa*, *Phytochemistry* **29**: 1690-1692.
31. Rosemary, F.W. (1991) A flavonol triglycoside from *Actinidia arguta* var. *giraldii*, *Phytochemistry* **30**: 2443-2444.
32. Agrawal, P.K. (1989) CARBON-13 NMR of Flavonoids, elsevier.

(2003년 12월 1일 접수)